т. т. БАКУМЕНКО, академик АН УССР В. А. РОЙТЕР

О ФОРМАХ «ПОВЕРХНОСТНОГО» КИСЛОРОДА ПЯТИОКИСИ ВАНАДИЯ

В настоящей работе исследовалась энергетика хемосорбированного кислорода на интиокиси ванадия по температурной зависимости равновесного давления кислорода, определяемого масс-спектрометрически *.

Исходные образцы готовились таблетированием продажной пятиокиси ванадия марки х.ч., переплавленной на воздухе при 700° С (образец I — 7,46 г, $S_{yz} = 3,08$ м²/г) и марки о.ч. (образец II — 5,16 г, $S_{yz} = 6,13$ м²/г). Таблетки дробились до зернения 1-2 мм. После стандартной обработки

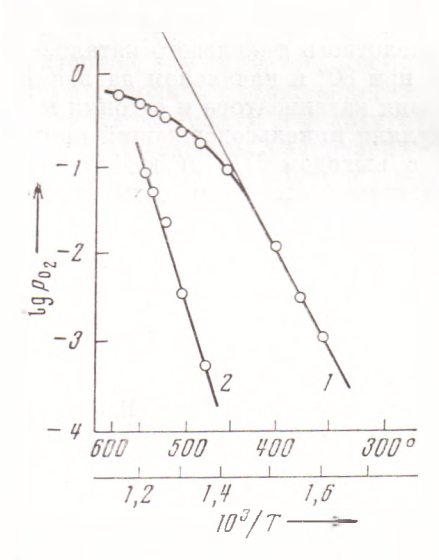


Рис. 1. Зависимость равновесного давления кислорода от температуры на стационарном образце I: 1— после стандартной обработки, 2— после вакуумирования при 500°

(вакуумирование при 500° в течение 4 час., двухчасовая обработка кислородом при $P_{0i}=10$ тор, охлаждение до 50° и откачка до $P=10^{-5}$ тор в течение часа) призводилось измерение давления кислорода в интервале температур $300-600^{\circ}$. При каждой температуре образец выдерживался до достижения постоянства давления кислорода.

На всех исследованных образцах после стандартной обработки зависимость $\lg P_{0}(1/T)$ значительно отклонялась от линейной. При этом было замечено, что на обоих образцах наряду с десорбцией кислорода выделяются значительные количества газов с массами 44 и 28 (хроматографически определены СО2 и N_2). Замечено также, что при температурах выше 400° давление кислорода после достижения максимального значения при данной температуре начинает падать. Дополнительная обработка подготовленных образцов стандартно при 500° в вакууме в течение 7 час. лишь несколько снижает, но не устраняет полностью выделения CO₂ и N₂ и

расходования кислорода при дальнейших измерениях. По-видимому, в исходных образцах даже о.ч. содержатся следы нелетучих примесей, способных, медленно окисляясь при температурах выше 400° , выделять N_2 и CO_2 . Процессы эти потребляют кислород, т.е. вносят искажения в зависимость $\lg P_{O_2}(1/T)$. Очевидно, расчеты теплот по графикам, полученным на таких образцах, не могли дать надежных результатов.

Устранить эти помехи удалось многократной попеременной вакуумной и кислородной ($P_{\text{O}_2} = 10$ тор) обработкой образца при 600°. После такой обработки и последующей стандартной обработки кислородом пики примесей практически исчезают, эффекта потребления кислорода во времени не наблюдается, кривые $\lg P_{\text{O}_2}(1/T)$ обратимы и пригодны для расчета теплот удаления поверхностного кислорода (q_s). На рис. 1, I приведен пример такой кривой для образца I. Зависимость $\lg P_{\text{O}_2}(1/T)$ для того же

^{*} В выполнении эксперимента принимал участие Н. Ф. Мороз.

стационарного образца после вакуумирования его (4 часа) при 500° без по-

следующей обработки кислородом показана кривой 2.

Как видно из рис. 1, только на стационарном образце после вакуумирования без последующей обработки кислородом зависимость $\lg P_{0i}(1/T)$ линейна во всем интервале температур (кривая 2). Кривая 1, полученная на том же образце после стандартной обработки, хотя и имеет линейный участок в области 350-430°, заметно загибается книзу при температурах выше 450°. Это отклонение нельзя приписать «выжиганию» примесей, так как катализатор был предварительно доведен до стационарного состояния.

В нашей работе (1) было приведено уравнение Клаузиуса — Клацейрона с поправочным членом, учитывающим влияние степени заполнения поверхности на равновесную упругость хемосорбированного кислорода *:

$$\lg P_{0z} = \lg K_p + 2 \lg \left(\frac{a_0 - a}{a}\right) = \frac{q_s}{4,575T} + \frac{\Delta S}{4,575} + 2 \lg \frac{a}{a_0 - a}, \tag{1}$$

где a_0 — максимальное количество молей кислорода на поверхности в состоянии насыщения, a — количество хемосорбированного кислорода в дан-

ных условиях.

Из уравнения (1) следует, что линейную зависимость $\lg P_{0}(1/T)$ даже на однородной поверхности окисла можно наблюдать только при средних заполнениях, когда $a/a_0 \to 0.5$. Предположив, что и в нашем случае отклонение от линейности (рис. 1, 1) вызвано влиянием изменения заполнения, мы попробовали использовать полученную нами кривую для приближенной оценки величин a_0 и a.

Продолжим линейный участок кривой I в сторону высоких температур. Такой прямой должна была бы выражаться эта зависимость, если бы поправочный член был близок к нулю **. Разница в значениях $\lg P_0$, между точками на прямой и на экспериментальной кривой для каждой температуры будет равна тогда с достаточным приближением величине поправоч-

ного члена: $\Delta \lg P_{0_2} = 2\lg \frac{a_{\scriptscriptstyle T}}{a_{\scriptscriptstyle 0} - a_{\scriptscriptstyle T}}$, нли, заменив $a \mathrel{/} a_{\scriptscriptstyle 0}$ через α

$$\Delta \lg P_{o_2} = 2 \lg \frac{\alpha T}{1 - \alpha T}. \tag{2}$$

Взяв по графику значения $\Delta \lg P$ для ряда температур, получаем из выражения (2) значения α_T для каждой из этих температур:

$$T = 450^{\circ}$$
, $\Delta \lg P_T = -0.20$, $\alpha_T = 0.44$; $T = 500^{\circ}$, $\Delta \lg P_T = -0.60$, $\alpha_T = 0.33$; $T = 550^{\circ}$, $\Delta \lg P_T = -1.15$, $\alpha_T = 0.20$.

Для определения величины a_0 воспользуемся экспериментальными данными о количествах кислорода (в мол.), выделяющегося из образца при повышении температуры $(a_{T_1} - a_{T_2}) = a_0(\alpha_{T_1} - \alpha_{T_2})$:

$$T = 450^{\circ},$$
 $a_0(\alpha_{350} - 0.44) = 3.064 \cdot 10^{-7},$
 $T = 500^{\circ},$ $a_0(\alpha_{350} - 0.33) = 7.717 \cdot 10^{-7},$
 $T = 550^{\circ},$ $a(\alpha_{350} - 0.20) - 13.68 \cdot 10^{-7}.$

Из этого ряда комбинируем три системы уравнений с двумя неизвестными: a_0 и α_{350° и находим эти величины. Значения $\alpha_{350^\circ}=0{,}515{,}~0{,}49{;}~0{,}51-$ среднее $0{,}51{;}$ значения $a_0=4{,}7\cdot10^{-6}{;}~4{,}4\cdot10^{-6}{;}~4{,}5\cdot10^{-6}{\,}-$ среднее $4{,}5\cdot10^{-6}{\,}$ мол. O_2 на образце. Разброс значений невелик.

* Аналогичное уравнение выводится также термодинамически при допущении отсутствия взаимного влияния хемосорбированных частиц (9).

^{**} Величины q_S и ΔS принимаем в первом приближении независимыми от температуры, как это обыкновенно делается при расчетах по уравнению Клаузиуса — Кла-пейрона. Примем предварительно, что эти величины не зависят и от степени заполнения при тех малых изменениях, которые претерпевает эта величина в наших

Значение α для температуры 350° , соответствующей среднему линейному участку, близко к 0.5, и весь ход кривой может быть выражен уравнением (1). Максимальное количество кислорода a_{\circ} невелико, соответствует всего $\sim 2.5\%$ монослоя, что близко к результатам, полученным при

прямом исследовании адсорбции кислорода (\hat{z}) .

Значение теплоты, рассчитанное из кривой $Iq_s=41$ ккал/моль O_2 , что близко к величине q_s для стандартно обработанного V_2O_5 в работе (3). Повидимому, эта кривая отражает зависимость $\lg P_{O_2}(1/T)$ для удаления с поверхности хемосорбированного кислорода. Явление насыщения поверхности при малом заполнении может быть истолковано, как это было сделано в работе (4), как признак деплетивной адсорбции. Если это так, то хемосорбированный кислород должен находиться на поверхности в форме отрицательно заряженных частиц. Это согласуется с результатами работ (5, 6), в которых методом э.п.р. показано существование анион-радикалов O_2 — и O— на поверхности окислов-полупроводников.

Кривая 2, полученная на образце после тренировки его в вакууме, линейна во всем интервале температур. Значение q_s , рассчитанное из наклона этой прямой, равно 76 ккал/моль O_2 . Эта величина значительно выше теплоты удаления хемосорбированного кислорода, рассчитанного из кривой 1 и превышает также теплоту диссоциации V_2O_5 с образованием фазы V_2O_4 ($-\Delta H_{298}=62$ ккал/моль O_2). По-видимому, кривая 2 относится к процессу удаления кислорода из поверхностного слоя решетки V_2O_5 без образования фазы низшего окисла. Как было показано в (7), такой процесс требует большей затраты энергии, чем процесс диссоциации V_2O_5 .

В пользу высказанных соображений о различии форм кислорода, удаляемого с поверхности V_2O_5 после стандартной предварительной обработки (кривая 1) и после вакуумирования (кривая 2), говорят также вычисленные нами значения ΔS этих процессов: в первом случае ΔS_{7730K}

= 51 э.е., во втором $\Delta S_{7730K} = 87$ э.е.

Сравнивая эти значения ΔS со значением энтропии образующегося молекулярного кислорода, которая при этой температуре равна 56 э.е. (8), находим, что в первом случае ΔS близка к этой величине, т.е. при удалении кислорода с поверхности энтропия системы ($V_2O_5 + O_2$) практически не изменяется или лишь немного уменьшается, что возможно, если кисло-

род находился в состоянии, хемосорбированном на поверхности.

Во втором случае ΔS при снятии кислорода с поверхности значительно превышает 56 э.е. Следовательно, удаление некоторого количества кислорода приводит к увеличению неупорядоченности кристалла окисла, росту его энтропии. Наше предположение, что в этом случае мы имеем дело с удалением некоторого количества кислорода, находившегося ранее в форме O^2 в поверхности кристаллической решетки, соответствует наблюдаемому факту. Удаляя из поверхностного слоя кристалла атомы кислорода, мы оставляем в решетке примеси либо в виде избыточных электронов, либо в виде примесных ионов V^{4+} , что должно нарушать порядок в кристалле, повышать его энтропию.

Институт физической химии им. Л. В. Писаржевского Академии наук УССР Киев Поступило 10 V 1973

ЦИТИРОВАННАЯ ЛИТЕРАТУРА

¹ Т. Т. Бакуменко, В. А. Ройтер, Катализ и катализаторы, в. 9, 76 (1972).

² Л. Я. Марголис, Е. Г. Плышевская, Изв. АН СССР, ОХН, 1952, 415.

³ В. А. Сазонов, В. В. Поповский, Г. К. Боресков, Кинетика и катализ, 9, 2, 312 (1968).

⁴ В. А. Ройтер, В. А. Юза, Кинетика и катализ, 3, в. 3, 343 (1962).

⁵ V. А. Shvetz, М. Е. Sarichev, V. В. Каzansky, J. Catal., 11, 378 (1968).

⁶ В. А. Швец, В. М. Воротынцев, В. Б. Казанский, Кинетика и катализ, 10, в. 2, 356 (1969).

⁷ Г. И. Голодец, Ю. М. Пятницкий, В. В. Гончарук, Теоретич. и эксп. хим., 4, в. 1, 53 (1968).

⁸ Д. Сталл, З. Вестрам, Г. Зинке, Химическая термодинамика органических соединений, М., 1971, стр. 234.

⁹ О. М. Полторак, Лекции по химической термодинамике, М., 1971, стр. 200.